# VARIÉTÉS HOMOGÈNES SOUS $PGL_n$

par

# Franck Doray

**Résumé.** — Soit A une algèbre d'Azumaya sur un corps. Notons G le groupe de ses automorphismes. Si X désigne une variété homogène projective sous G, nous construisons explicitement, sous certaines hypothèses, un fibré  $\mathcal V$  sur S, où S est une variété de Severi-Brauer (généralisée) associée à A, et un isomorphisme canonique entre X et une fibration en drapeaux de  $\mathcal V$ . Ceci permet de calculer de manière explicite les groupes de Chow de X en fonction des groupes de Chow de S.

**Abstract.** — Let A be an Azumaya algebra over a field. If G is the group of automorphisms of A and X denotes a projective homogeneous variety under G, we construct in a very explicit way and under suitable hypotheses a bundle  $\mathcal V$  on S, where S is a (generalized) Severi-Brauer variety associated to A, and a canonical isomorphism between X and a flag bundle on  $\mathcal V$ . This allows to explicitly compute Chow groups of X in terms of the Chow groups of S.

#### 1. Introduction

Si une k-variété projective X est supposée cellulaire, alors l'anneau de Chow gradué  $\bigoplus_i \operatorname{CH}^i(X)$  est le  $\mathbf{Z}$ -module libre sur les classes des adhérences des cellules de X ([17]). En particulier, les variétés de drapeaux déployées, c'est-à-dire les variétés projectives homogènes sous un groupe algébrique semi-simple déployé ont des groupes de Chow libres de type fini sur  $\mathbf{Z}$ . Il est alors légitime de vouloir étudier les groupes de Chow de variétés projectives homogènes non déployées. Considérons une telle k-variété projective homogène X et supposons-la déployée sur une extension L/k. Alors la flèche naturelle  $\operatorname{CH}^i(X) \to \operatorname{CH}^i(X_L)$  permet de voir

que tout élément de torsion de  $\operatorname{CH}^i(X)$  s'envoie sur 0, et en fait le noyau est exactement constitué d'éléments de torsion (la formule de projection permet en effet de voir que la composée  $\operatorname{CH}^i(X) \to \operatorname{CH}^i(X_L) \to \operatorname{CH}^i(X)$  coïncide avec la multiplication par le degré de l'extension L/k).

Les groupes de Chow en codimension 1 sont connus (voir par exemple [27, lemme 5.1]). N. Karpenko a calculé les groupes de Chow en codimension 2 des variétés de Severi-Brauer, cas particulier de variétés homogènes projectives sous PGL(A) pour une algèbre simple centrale A. Le calcul des motifs des variétés homogènes projectives sous un groupe G, forme interne d'un groupe de Chevalley se ramène dans certains cas au calcul de motifs de variétés homogènes projectives « plus simples » (i.e. : G/P où P est un parabolique maximal) comme l'ont montré Calmès, Petrov, Semenov et Zainouline dans [5]. Le présent article a pour but de calculer de manière tout-à-fait explicite les groupes de Chow de variétés homogènes projectives sous  $PGL_n$  en fonction des groupes de Chow de variétés de Severi-Brauer ou Severi-Brauer généralisées ([23, définition 1.16]).

# 2. Quelques notations et définitions

Introduisons ici quelques notations et définitions que nous utiliserons par la suite.

Nous utiliserons la théorie des algèbres simples centrales que nous appellerons aussi algèbres d'Azumaya :

**Définition 2.1.** — Notons  $k_s$  une clôture séparable de k. Soit A une k-algèbre. On dira que A est une algèbre d'Azumaya s'il existe un entier  $r \ge 1$  tel que

$$A \otimes_k k_s = \mathcal{M}_r(k_s).$$

Une telle algèbre est de dimension  $r^2$ , r est appelé le degré de A.

Si X est un schéma, rappelons [13] qu'une algèbre  $\mathcal{A}$  sur X est une algèbre d'Azumaya si, localement pour la topologie étale,  $\mathcal{A}$  est isomorphe à  $\mathcal{M}_r(\mathcal{O}_X)$  pour un certain r. Si  $X = \operatorname{Spec}(k)$  est le spectre d'un corps, une algèbre d'Azumaya A sur X n'est rien d'autre qu'une algèbre simple centrale sur k.

**Définition 2.2.** — Soient A une algèbre d'Azumaya sur k de degré n et  $1 \leq i_1 < \ldots < i_r \leq n$  des entiers. On notera par  $\mathrm{SB}_{i_1,\ldots,i_r}(A)$  le k-schéma représentant le foncteur qui à une k-algèbre R associe l'ensemble

des r-uplets  $(I_1, \ldots, I_r)$  d'idéaux à gauche de  $A \otimes_k R$ , tels que  $A \otimes_k R/I_j$  soit localement libre de rang  $n^2 - ni_j$  et  $I_1 \subset \ldots \subset I_r$ .

**Remarque 2.3.** — Tout groupe algébrique G, forme intérieure de type  $A_{n-1}$  s'écrit  $\operatorname{PGL}(A)$  pour une algèbre d'Azumaya A de degré n, et toute variété projective homogène X sur G s'écrira  $\operatorname{SB}_{i_1,\ldots,i_r}(A)$  pour un entier r et un r-uplet  $(i_1,\ldots,i_r)$  [25, 5.2].

Remarque 2.4. — En particulier  $SB_i(A)$  est une variété de Severi-Brauer généralisée [23, définition 1.16]. Par exemple,  $SB_1(A)$  coïncide avec SB(A), variété de Severi-Brauer « habituelle », définie pour la première fois par Châtelet [7].

**Remarque 2.5**. — Si L/k est une extension de corps déployant A (un tel L existe d'après le théorème de Wedderburn, [23, théorème 1.1]), alors  $SB_i(A) \otimes_{Spec(k)} Spec(L)$  est simplement une variété de Grassmann, d'après [23, théorème 1.18].

**Notation 2.6.** — Soit V un k-espace vectoriel de dimension n. Soient  $1 \le i_1 < \ldots < i_r \le n$  des entiers. La variété de drapeaux sur V associée à la suite  $(1 \le i_1 < \ldots < i_r \le n)$  est notée  $\operatorname{Drap}_{i_1,\ldots,i_r}(V)$ . C'est le k-schéma représentant le foncteur qui à une k-algèbre R associe l'ensemble des r-uplets  $(V_1,\ldots,V_r)$  de R-modules de  $V \otimes_k R$  tels que  $V \otimes_k R/V_i$  soit localement libre de rang  $n-i_j$  et  $V_1 \subset \ldots \subset V_r$ . Par exemple, ses L-points pour une extension de corps L/k sont  $\operatorname{Drap}_{i_1,\ldots,i_r}(V)(L) = \{V_1 \subset \ldots \subset V_r \subset V \otimes_k L$ , pour tout  $j, V_j, L$ -espace vectoriel de dimension  $i_j\}$ .

**Définition 2.7.** — Soient  $\mathcal{V}$  un fibré de rang n sur un k-schéma X, et  $1 \leq i_1 < \ldots < i_r \leq n$  une suite d'entiers. On notera  $\operatorname{Drap}_{i_1,\ldots,i_r}(\mathcal{V})$  le fibré en variétés de drapeaux associé à  $1 \leq i_1 < \ldots < i_r \leq n$  défini comme suit : si U est un ouvert de X trivialisant  $\mathcal{V}$ , on a le diagramme commutatif suivant dont le carré est cartésien :

$$\mathbf{A}_{k}^{n} \times U \xrightarrow{\phi} \mathcal{V}_{|U} \longrightarrow \mathcal{V}$$

$$\downarrow \qquad \qquad \downarrow \qquad \qquad \downarrow$$

$$U \longrightarrow X$$

On définit un fibré en variétés de drapeaux  $\mathcal{E}_U$  sur U comme étant égal à  $\phi^{-1}(\operatorname{Drap}_{i_1,\dots,i_r}(k^n) \times U)$ . Pour tout ouvert U trivialisant  $\mathcal{V}$ , on construit ainsi un fibré en variétés de drapeaux  $\mathcal{E}_U$ . Il est évident qu'ils se recollent pour donner naissance à un fibré en variétés de drapeaux  $\mathcal{E}$  sur X tel que

si U est un ouvert trivialisant  $\mathcal{V}$ , on a :  $\mathcal{E}_{|U} = \mathcal{E}_U$ . Finalement, on pose :  $\operatorname{Drap}_{i_1,\ldots,i_r}(\mathcal{V}) = \mathcal{E}$ .

**Notation 2.8.** — Si  $\mathcal{B}$  est une algèbre d'Azumaya de degré n, sur un schéma X, et si  $1 \leq i_1 < \ldots < i_r \leq n$  sont des entiers, alors on peut définir une fibration en variétés de drapeaux tordues  $\mathrm{SB}_{i_1,\ldots,i_r}(\mathcal{B}) \to X$  qui revient à étendre la définition 2.2 « en famille » (construction analogue à la définition 2.7). Par exemple, si  $x \in X$  est un point, alors

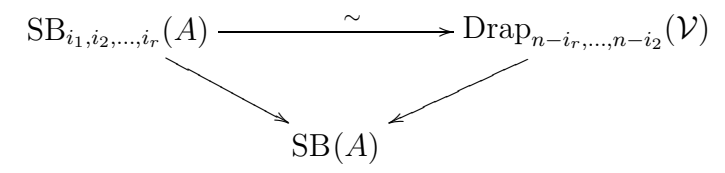
$$SB_{i_1,\ldots,i_r}(\mathcal{B})_x = SB_{i_1,\ldots,i_r}(\mathcal{B}_x).$$

Nous noterons  $SB(\mathcal{B}) = SB_1(\mathcal{B})$ .

#### 3. Résultats

Nous utiliserons les notations introduites en 2. Énonçons le premier théorème :

**Théorème 3.1.** — Soit A une algèbre d'Azumaya sur k de degré n. Soient r > 1 et  $1 \le i_1 < \ldots < i_r \le n$  des entiers. Supposons  $i_1 = 1$ , alors il existe un fibré de rang n - 1,  $\mathcal{V}$  sur  $\mathrm{SB}_{i_1}(A) = \mathrm{SB}(A)$ , tel que l'on ait un isomorphisme :



Si  $i_1$  est quelconque, on a le résultat général suivant :

**Théorème 3.2.** — Soit A une algèbre d'Azumaya sur k de degré n. Soient r > 1 et  $1 \le i_1 < i_2 < \ldots < i_r \le n$  des entiers. Fixons un  $s \in \{1, \ldots, r\}$ . Il existe deux algèbres d'Azumaya  $\mathcal{B}_+$  et  $\mathcal{B}_-$  sur  $\mathrm{SB}_{i_s}(A)$  de degrés respectifs  $n - i_s$  et  $i_s$  telles que l'on ait un isomorphisme :

$$\operatorname{SB}_{i_1,\dots,i_r}(A) \xrightarrow{\sim} \operatorname{SB}_{i_1,\dots,i_{s-1}}(\mathcal{B}_-) \times_{\operatorname{SB}_{i_s}(A)} \operatorname{SB}_{i_{s+1}-i_s,\dots,i_r-i_s}(\mathcal{B}_+)$$

$$\operatorname{SB}_{i_s}(A)$$

Il admet pour corollaires:

Corollaire 3.3. — Conservons les notations du théorème 3.2. Si l'indice de A, ind A, (cf. notation 4.2) est premier avec un des  $i_j$ , disons  $i_s$ , alors la projection naturelle :

$$SB_{i_1,...,i_r}(A) \to SB_{i_s}(A)$$

est une fibration en produits de variétés de drapeaux non tordues.

Corollaire 3.4. — Conservons les notations du théorème 3.2. Si ind A est une puissance d'un nombre premier et si  $(\text{ind } A, i_1, \ldots, i_r) = 1$  alors il existe un  $s \in \{1 \ldots r\}$  tel que la projection naturelle :

$$SB_{i_1,...,i_r}(A) \to SB_{i_s}(A)$$

soit une fibration en produits de variétés de drapeaux non tordues.

#### 4. Preuve des résultats

# 4.1. Espaces vectoriels sur un corps gauche - Annulateurs

Rappelons un résultat classique de Wedderburn pour fixer les notations :

**Théorème 4.1 (Wedderburn)**. — Si A est une algèbre d'Azumaya sur k de degré n, alors il existe un corps gauche D sur k et un D-espace vectoriel à droite E, tels que

$$A = \operatorname{End}_D(E)$$
.

L'anneau des D-endomorphismes de E opère à gauche sur E.

Nous utiliserons librement ce résultat dans la suite avec les mêmes notations.

**Notation 4.2.** — La dimension de D est nécessairement un carré, sa racine carré sera l'indice de A, noté ind A. Si r est la D-dimension de E, alors le degré de A est égal à rd, où  $d = \operatorname{ind} A$ .

**Définition 4.3.** — Soit A une algèbre d'Azumaya sur k, de degré n. Soit  $I \subset A$ , alors on définit son annulateur à droite comme suit :  $I^{\circ} = \{a \in A, Ia = 0\}$ . De même, on définit son annulateur à gauche  ${}^{\circ}I = \{a \in A, aI = 0\}$ .

**Remarque 4.4.** — Si I est un sous-ensemble quelconque de A, alors  $I^{\circ}$  est un idéal à droite de A et  $^{\circ}I$  est un idéal à gauche de A.

La proposition classique suivante est d'une importance cruciale pour mieux comprendre les objets utilisés :

**Proposition 4.5.** — Soient D un corps gauche de centre k, E un D-espace vectoriel à droite de dimension finie et posons  $A = \operatorname{End}_D(E)$ , algèbre d'Azumaya sur k. L'application  $V \to \operatorname{Hom}_D(E/V, E)$  définit une bijection entre, d'une part, les sous-D-espaces vectoriels de E de D-dimension l et, d'autre part, les idéaux à gauche de A de k-dimension  $\operatorname{deg} A(\operatorname{deg} A - l \operatorname{ind} A)$ . De même,  $V \to \operatorname{Hom}_D(E, V)$  définit une bijection entre d'une part les sous-D-espaces vectoriels de E de D-dimension l et d'autre part les idéaux à droite de A de k-dimension l  $\operatorname{deg} A\operatorname{ind} A$ .

 $D\'{e}monstration.$  — [23, Proposition 1.12].

**Remarque 4.6.** — Avec les notations précédentes, si  $d = \operatorname{ind} A = \operatorname{deg} D$ ,  $n = \operatorname{deg} A$ , et si r est la D-dimension de E (n = dr), alors le sous-D-espace vectoriel correspondant à un idéal à gauche I de A de k-dimension ni (pour un certain i) est de D-dimension  $\frac{n-i}{d}$ .

Corollaire 4.7. — Conservons les notations de la proposition. Si I est un idéal à gauche de A s'écrivant  $\operatorname{Hom}_D(E/V,E)$  pour un sous-D-espace vectoriel V de E, alors  $I^{\circ}$  s'identifie canoniquement à l'idéal  $\operatorname{Hom}_D(E,V)$ . De même si I est un idéal à droite de A s'écrivant  $\operatorname{Hom}_D(E,V)$  pour un sous-D-espace vectoriel V de E, alors I s'identifie canoniquement à l'idéal alors à gauche  $\operatorname{Hom}_D(E/V,E)$ .

 $D\'{e}monstration.$  — [23, Preuve de la proposition 1.14.]

On en déduit :

**Lemme 4.8**. — Si I est un idéal à gauche de A, alors  $^{\circ}(I^{\circ}) = I$ . De même si I est un idéal à droite de A, alors  $(^{\circ}I)^{\circ} = I$ .

 $D\'{e}monstration.$  — [23, Proposition 1.14.]

Lemme 4.9. — Soit A une algèbre d'Azumaya sur k, de degré n.

- (i) Si  $I \subset A$  est un idéal à gauche de k-dimension ni alors  $I^{\circ}$  est un idéal à droite de k-dimension n(n-i).
- (ii) Si I et J sont des idéaux à gauche de A de k-dimensions respectives ni et nj alors  $I^{\circ}J = I^{\circ} \cap J$  est un sous-k-espace vectoriel de A de dimension (n-i)j.

 $D\acute{e}monstration.$  — On peut écrire :  $A = \operatorname{End}_D(E)$ .

- (i) La remarque 4.4 permet de voir que  $I^{\circ}$  est un idéal à droite; la proposition 4.5 nous donne sa dimension.
- (ii) Si  $I = \operatorname{Hom}_D(E/V, E)$  et  $J = \operatorname{Hom}_D(E/W, E)$  où V et W sont des sous-D-espaces vectoriels de E, alors  $I^{\circ} = \operatorname{Hom}_D(E, V)$ , et un simple calcul permet de voir que  $I^{\circ} \cap J = I^{\circ}J = \operatorname{Hom}_D(E/W, V)$ . Par suite (proposition 4.5)  $\dim_k I^{\circ}J = \dim_k I^{\circ} \cap J = (n-i)j$ .

Le lemme suivant est à rapprocher des propositions 1.15 et 1.20 de [23].

Lemme 4.10. — Conservons les notations de la proposition 4.5. Si I est un idéal à gauche de A s'écrivant  $\operatorname{Hom}_D(E/V,E)$  pour un sous-D-espace vectoriel V de E alors  $I^{\circ}/I^{\circ}I$  est canoniquement isomorphe à  $\operatorname{Hom}_D(V,V)$ . Si de plus, J est un idéal à gauche de A contenant I s'écrivant  $\operatorname{Hom}_D(E/W,E)$ , avec  $W \subset V$  alors  $I^{\circ}J/I^{\circ}I$  est canoniquement isomorphe à  $\operatorname{Hom}_D(V/W,V)$ .

Démonstration. — Si  $V \subset E$ , on a la suite exacte :

$$0 \longrightarrow V \longrightarrow E \longrightarrow E/V \longrightarrow 0$$

et en appliquant le foncteur  $\mathrm{Hom}_D(-,V)$  qui est exact, on obtient la suite exacte suivante :

$$0 \longrightarrow \operatorname{Hom}_D(E/V, V) \longrightarrow \operatorname{Hom}_D(E, V) \longrightarrow \operatorname{Hom}_D(V, V) \longrightarrow 0$$
.

Puisque d'après 4.9  $\operatorname{Hom}_D(E/V,V)=I^{\circ}I,$  la suite exacte se réécrit :

$$0 \longrightarrow I^{\circ}I \longrightarrow I^{\circ} \longrightarrow \operatorname{Hom}_{D}(V,V) \longrightarrow 0 \ .$$

Par suite :  $I^{\circ}/I^{\circ}I$  est canoniquement isomorphe à  $\operatorname{Hom}_D(V,V)$ . Supposons que  $J=\operatorname{Hom}_D(E/W,E)$ . Un raisonnement analogue appliqué à la suite exacte courte suivante

$$0 \longrightarrow V/W \longrightarrow E/W \longrightarrow E/V \longrightarrow 0$$

nous permet de voir que  $I^{\circ}J/I^{\circ}I = \operatorname{Hom}_{D}(V/W, V)$ .

Corollaire 4.11. — Soit A une algèbre d'Azumaya sur k, de degré n. Si I est un idéal à gauche de A, alors on a un isomorphisme canonique :

$$I^{\circ}/I^{\circ}I \to \operatorname{End}_A(I^{\circ})$$

induite par l'application  $x \mapsto (y \mapsto xy)$ . De plus :  $\operatorname{ind}(\operatorname{End}_A I^\circ) = \operatorname{ind} A$  ([23, proposition 1.10]). Le groupe  $I^\circ/I^\circ I$  est muni d'une structure d'algèbre d'Azumaya sur k dont la classe est égale à celle de A dans le groupe  $\operatorname{Br}(k)$  et est de degré n-i si  $\dim_k I=ni$ .

 $D\acute{e}monstration$ . — On peut supposer que  $A = \operatorname{End}_D(E)$  avec les notations précédentes. I s'écrit alors  $\operatorname{Hom}_D(E/V, E)$  pour un certain V. D'après [23, proposition 1.12],  $\operatorname{Hom}_D(V, V)$  s'identifie canoniquement à  $\operatorname{End}_A(I^\circ) = \operatorname{End}_A(\operatorname{Hom}_D(E, V))$  grâce à la multiplication à gauche. L'assertion sur le degré est une conséquence du lemme 4.9.

Lemme 4.12. — Conservons les notations précédentes. Alors  $J/J^{\circ}J$  est canoniquement isomorphe à  $\operatorname{Hom}_D(E/W, E/W)$  et  $I/J^{\circ}I$  est canoniquement isomorphe à  $\operatorname{Hom}_D(E/V, E/W)$ .

 $D\acute{e}monstration$ . — La preuve est analogue à celle du lemme 4.10

Corollaire 4.13. — Soit A une algèbre d'Azumaya sur k, de degré n. Si I est un idéal à gauche de A, alors on a un isomorphisme canonique :

$$I/I^{\circ}I \to \operatorname{End}_A I$$

induite par l'application  $x \mapsto (y \mapsto yx)$ . De plus :  $\operatorname{ind}(\operatorname{End}_A I^\circ) = \operatorname{ind} A$ . Le groupe  $I/I^\circ I$  est muni d'une structure d'algèbre d'Azumaya sur k dont la classe est égale à celle de A dans le groupe  $\operatorname{Br}(k)$  et est de degré i si  $\dim_k I = ni$ .

 $D\'{e}monstration$ . — La preuve est identique à celle du corollaire 4.11.  $\square$ 

# 4.2. Bijections

La proposition suivante est la clef de la preuve du théorème 3.1 :

**Proposition 4.14.** — Soit A une algèbre d'Azumaya sur k. Notons n son degré. Soit  $I \subset A$  un idéal à gauche de k-dimension n. On a une bijection canonique :

$$\left\{ \begin{array}{c} J \\ I \subset J \subset A \\ J \ id\acute{e}al \ \grave{a} \ gauche \\ \dim_k J = nj \\ J \end{array} \right\} \ \rightleftarrows \ \left\{ \begin{array}{c} W \\ W \subset I^{\circ}I \\ W \ sous\text{-}espace \ vectoriel \\ \dim_k W = (n-j) \\ J^{\circ}I \end{array} \right\}$$

Démonstration. — D'après le lemme 4.9,  $\dim_k J^{\circ}I = (n-j)$ , et donc on a bien une flèche notée  $\phi$ :

$$\left\{ \begin{array}{c} J \\ I \subset J \subset A \\ J \text{ id\'eal \`a gauche} \\ \dim_k J = nj \end{array} \right\} \xrightarrow{\phi} \left\{ \begin{array}{c} W \\ W \subset I^{\circ}I \\ W \text{ sous-espace vectoriel} \\ \dim_k W = (n-j) \end{array} \right\}$$

Remarquons déjà que l'existence de I force  $d=\operatorname{ind} A=1$ . A est donc déployée. D'après le théorème de Wedderburn, il existe un k-espace vectoriel E tel que l'on ait  $A \simeq \operatorname{End}_k(E)$ . Par suite, grâce au lemme 4.5, on dispose de  $V \subset E$  tel que I s'identifie à  $\operatorname{Hom}_k(E/V,E)$  via l'isomorphisme  $A \simeq \operatorname{End}_k(E)$ . En particulier  $\dim_k V = n-1$ . Puisque  $\dim_k E/V = 1$ , on a une bijection canonique :

$$\left\{\begin{array}{c} U \subset \operatorname{Hom}(E/V,V) \\ \text{sous-espace vectoriel de dimension } l \end{array}\right\} \stackrel{f}{\longleftarrow} \left\{\begin{array}{c} U \subset V \\ \dim_k U = l \end{array}\right\}$$

$$U \longmapsto \bigcup_{u \in U} \operatorname{Im} u$$

Par suite, le diagramme commutatif suivant permet de conclure :

$$\left\{ \begin{array}{c} J \\ I \subset J \subset A \\ J \text{ idéal à gauche} \\ \dim_k J = nj \end{array} \right\} \stackrel{\phi}{\longrightarrow} \left\{ \begin{array}{c} W \\ W \subset I^{\circ}I \\ W \text{ sous-espace vectoriel} \\ \dim_k W = n-j \end{array} \right\}$$

$$\left\{ \begin{array}{c} W \\ W \subset \operatorname{Hom}(E/V, V) \\ W \text{ sous-espace vectoriel} \\ \dim_k W = n-j \end{array} \right\}$$

$$\left\{ \begin{array}{c} W \\ W \subset V \subset E \\ W \text{ sous-espace vectoriel} \\ \dim_k W = n-j \end{array} \right\}$$

$$\left\{ \begin{array}{c} W \\ W \subset V \\ W \text{ sous-espace vectoriel} \\ \dim_k W = n-j \end{array} \right\}$$

Remarque 4.15. — Notons  $\phi$  la bijection de la proposition précédente. On peut donner une expression explicte de  $\phi^{-1}$ . Avec les notations de la proposition, elle s'écrit :

$$\left\{
\begin{array}{c}
W \\
W \subset I^{\circ}I \\
W \text{ sous-espace vectoriel} \\
\dim_{k} W = (n - j)
\end{array}
\right\}$$

$$\rightleftharpoons
\left\{
\begin{array}{c}
J \\
I \subset J \subset A \\
J \text{ idéal à gauche} \\
\dim_{k} J = nj
\end{array}
\right\}$$

$$\longleftrightarrow$$

$$\circ(WA).$$

En effet, si on note par  $\psi$  l'application ci-dessus, d'après le lemme 4.4, le k-espace vectoriel  ${}^{\circ}(WA)$  est un idéal à gauche de A. Si  $J \supset I$  est de k-dimension nj alors  ${}^{\circ}(J^{\circ}IA) = {}^{\circ}(J^{\circ})$ , car par simplicité de A, l'idéal IA étant bilatère et non vide, il est égal à A. Or  ${}^{\circ}(J^{\circ}) = J$  grâce au lemme 4.8, donc  $\psi(\phi(J)) = J$ . Ainsi, puisque  $\psi$  est un inverse à gauche de  $\phi$  et puisque  $\phi$  est surjective, alors pour tout  $W \subset I^{\circ}I$ , l'idéal à gauche  ${}^{\circ}(WA)$  contient I et est de k-dimension n-j, donc l'application  $\psi$  est bien définie.

Soit W un k-espace vectoriel de  $I^{\circ}I$  de k-dimension n-j. On calcule  $\phi(\psi(W)) = ({}^{\circ}(WA)){}^{\circ}I$ . D'après le lemme 4.8,  $\phi(\psi(W)) = WAI = WI$ . Or  $WI \subset W$  et donc pour des raisons de dimension  $\phi(\psi(W)) = W$ .

**Lemme 4.16**. — Soit A une algèbre d'Azumaya sur k de degré n. Soient r > 1 et  $1 \le i_1 < \ldots < i_r \le n$  des entiers. Soit  $I_1 \subset A$  un idéal de k-dimension  $ni_1$  (i.e. : un point rationnel de  $SB_{i_1}(A)$ ). On a alors une bijection canonique :

$$\left\{
\begin{array}{l}
(I_2, \dots, I_r) \\
I_1 \subset I_2 \subset \dots \subset I_r \subset A \\
I_j \ id\acute{e}al \ \grave{a} \ gauche \\
\dim_k I_j = ni_j
\end{array}
\right\}
\Longrightarrow
\left\{
\begin{array}{l}
(J_2, \dots J_r) \\
J_2 \subset \dots \subset J_r \subset I_1^{\circ}/I_1^{\circ}I_1 \\
J_j \ id\acute{e}al \ \grave{a} \ gauche \\
\dim_k J_j = (n - i_1)(i_j - i_1)
\end{array}\right\}$$

$$(I_2,\ldots,I_r) \longmapsto (I_1^{\circ}I_2/I_1^{\circ}I_1,\ldots,I_1^{\circ}I_r/I_1^{\circ}I_1).$$

Démonstration. — Posons  $B = \operatorname{End}_A(I_1^\circ) = I_1^\circ/I_1^\circ I_1$  (corollaire 4.11). C'est une algèbre d'Azumaya sur k d'indice  $d = \operatorname{ind} A$  et de degré  $n - i_1$ . Pour tout j, posons  $J_j = I_1^\circ I_j/I_1^\circ I_1$ . On a  $J_j \subset B$ , et les  $J_j$  sont des

idéaux à gauche de B de k-dimension  $(n-i_1)(i_j-i_1)$  d'après 4.9. On a alors une flèche  $\phi$ :

$$\left\{ \begin{array}{c} (I_2, \dots, I_r) \\ I_1 \subset I_2 \subset \dots \subset I_r \subset A \\ I_j \text{ id\'eal \`a gauche} \\ \dim_k I_j = ni_j \end{array} \right\} \xrightarrow{\phi} \left\{ \begin{array}{c} (J_2, \dots, J_r) \\ J_2 \subset \dots \subset J_r \subset I_1^\circ / I_1^\circ I_1 \\ J_j \text{ id\'eal \`a gauche} \\ \dim_k J_j = (n - i_1)(i_j - i_1) \end{array} \right\}$$

On peut supposer que  $A = \operatorname{End}_D(E)$  pour un corps gauche D de dimension  $d^2$  sur k et un D-espace vectoriel à droite E de dimension r. Alors n = rd. Soit  $V_1 \subset E$  tel que  $I_1 = \operatorname{Hom}_D(E/V_1, E)$ . Ainsi  $B = \operatorname{End}_A(I_1^\circ) = I_1^\circ/I_1^\circ I_1 = \operatorname{Hom}(V_1, V_1)$  (lemme 4.10).

Le diagramme commutatif suivant dont les flèches verticales sont données par la proposition 4.5 permet de conclure :

$$\left\{ \begin{array}{l} (I_2, \dots, I_r) \\ I_1 \subset I_2 \subset \dots \subset I_r \subset A \\ I_j \text{ id\'eal \`a gauche} \\ \dim_k I_j = ni_j \end{array} \right\} \stackrel{\phi}{\longrightarrow} \left\{ \begin{array}{l} (J_2, \dots, J_r) \\ J_2 \subset \dots \subset J_r \subset I_1^\circ / I_1^\circ I_1 \\ J_j \text{ id\'eal \`a gauche} \\ \dim_k J_j = (n-i_1)(i_j-i_1) \end{array} \right\}$$
 
$$\left\{ \begin{array}{l} (V_2, \dots, V_r) \\ E \supset V_1 \supset V_2 \supset \dots \supset V_r \\ V_j \text{ sous-espace vectoriel} \\ \dim_D V_j = \frac{n-i_j}{d} \end{array} \right\} = \left\{ \begin{array}{l} (W_2, \dots, W_r) \\ V_1 \supset W_2 \supset \dots \supset W_r \\ W_j \text{ sous-espace vectoriel} \\ \dim_D W_j = \frac{(n-i_1)-(i_j-i_1)}{d} \end{array} \right\}$$

Remarque 4.17. — Notons  $\phi$  la bijection du lemme précédent. On peut décrire de manière explicite sa bijection récriproque. Avec les notations du lemme, c'est l'application  $\psi$  suivante :

$$\left\{ \begin{array}{c} (J_2, \dots, J_r) \\ J_2 \subset \dots \subset J_r \subset I_1^\circ / I_1^\circ I_1 \\ J_j \text{ id\'eal \`a gauche} \\ \dim_k J_j = (n - i_1)(i_j - i_1) \end{array} \right\} \rightleftharpoons \left\{ \begin{array}{c} (I_2, \dots I_r) \\ I_1 \subset I_2 \subset \dots \subset I_r \subset A \\ I_j \text{ id\'eal \`a gauche} \\ \dim_k I_j = ni_j \end{array} \right\}$$

$$(J_2,\ldots,J_r) \longmapsto (A\pi_1^{-1}(J_2),\ldots,A\pi_1^{-1}(J_r))$$

où  $\pi_1$  est la projection  $A \to A/I_1^\circ I_1$ . Tout d'abord pour tout j,  $A\pi_1^{-1}(J_j)$  est bien un idéal à gauche de A, et l'on a bien  $A\pi_1^{-1}(J_2) \subset \ldots \subset A\pi_1^{-1}(J_r)$ . Fixons un  $j \in \{2, \ldots, r\}$ , si  $I_j$  est un idéal à gauche de A de k-dimension  $ni_j$ , alors  $A\pi_1^{-1}(I_1^\circ I_j/I_1^\circ I_1) = AI_1^\circ I_j = I_j$ , car, par simplicité de A,  $AI_1^\circ = A$ . Ainsi d'une part  $\psi$  est un inverse à gauche de  $\phi$  et d'autre part puisque  $\phi$  est surjective, l'idéal  $A\pi_1^{-1}(J_j)$  est de k-dimension  $ni_j$  dès que  $J_j$  est de k-dimension  $(n-i_1)(i_j-i_1)$  et contient  $I_1$ .

Soient  $J_2, \ldots, J_r$  des idéaux à gauche de  $I_1^{\circ}/I_1^{\circ}I_1$  de k-dimension respective  $(n-i_1)(i_j-i_1)$  tels que  $J_2 \subset \ldots \subset J_r$ . Pour tout  $j \in \{2\ldots r\}$ , on a :  $I_1^{\circ}(A\pi_1^{-1}(J_j))/I_1^{\circ}I_1 = \pi_1^{-1}(J_j)/I_1^{\circ}I_1$  puisque  $I_1^{\circ}A = A$ ; et  $\pi_1^{-1}(J_j)/I_1^{\circ}I_1 = J_j$ . Ainsi  $\phi(\psi(J_2,\ldots,J_r)) = (J_2,\ldots,J_r)$ .

De même, on a:

**Lemme 4.18**. — Soit A une algèbre d'Azumaya sur k de degré n. Soient r > 1 et  $1 \le i_1 < \ldots < i_r \le n$  des entiers. Soit  $I_r \subset A$  un idéal de k-dimension  $ni_r$  (i.e. : un point rationnel de  $SB_{i_r}(A)$ ). On a alors une bijection canonique :

$$\left\{
\begin{array}{c}
(I_1, \dots, I_{r-1}) \\
I_1 \subset \dots \subset I_{r-1} \subset I_r \subset A \\
I_j \ id\acute{e}al \ \grave{a} \ gauche \\
\dim_k I_j = ni_j
\end{array}
\right\}
\Longrightarrow
\left\{
\begin{array}{c}
(J_1, \dots, J_{r-1}) \\
J_1 \subset \dots \subset J_{r-1} \subset I_r/I_r^{\circ}I_r \\
J_j \ id\acute{e}al \ \grave{a} \ gauche \\
\dim_k J_j = i_ji_r
\end{array}
\right\}$$

$$(I_j)_{j=1...(r-1)} \longmapsto (I_j/I_r^{\circ}I_j)_{j=1...(r-1)}$$

 $D\acute{e}monstration.$  — La preuve est analogue à celle qui précède.

Posons  $B = \operatorname{End}_A(I_r) = I_r/I_r^{\circ}I_r$  (corollaire 4.13). C'est donc une algèbre d'Azumaya sur k d'indice  $d = \operatorname{ind} A$  et de degré  $i_r$ . Pour  $j \leqslant (r-1)$ , posons  $J_j = I_j/I_r^{\circ}I_j$ . La multiplication nous donne une action de  $I_r$  (à gauche) sur  $I_j$ . Cette action donne naissance à une action de  $I_r$  sur  $J_j$  puisque  $I_rI_r^{\circ} = 0$ . Finalement, elle permet d'obtenir une action (multiplication à gauche) de B sur  $J_j$ . Ainsi  $J_j$  est muni d'une structure de B-module. De plus, l'injection canonique  $I_j \to I_r$  nous donne une application  $I_j \to I_r/I_r^{\circ}I_r$  dont le noyau est  $I_r^{\circ}I_j$ , ainsi on a une application injective  $J_j \to B$ . Cette injection est compatible avec la structure de B-module et nous appelerons encore  $J_j$  son image dans B. Ainsi, les  $J_j$  sont des idéaux à gauche de B de k-dimension  $i_ji_r$  d'après 4.9. On a donc une flèche  $\phi$ :

$$\left\{
\begin{array}{c}
(I_1, \dots, I_{r-1}) \\
I_1 \subset \dots \subset I_{r-1} \subset I_r \subset A \\
I_j \text{ idéal à gauche} \\
\dim_k I_j = ni_j
\end{array}
\right\} \xrightarrow{\phi} \left\{
\begin{array}{c}
(J_1, \dots, J_{r-1}) \\
J_1 \subset \dots \subset J_{r-1} \subset I_r / I_r^{\circ} I_r \\
J_j \text{ idéal à gauche} \\
\dim_k J_j = i_j i_r
\end{array}
\right\}$$

On peut supposer que  $A = \operatorname{End}_D(E)$  pour un corps gauche D de dimension  $d^2$  sur k et un D-vectoriel à droite E de dimension r. Alors n = rd. Soit  $V_r \subset E$  tel que  $I_r = \operatorname{Hom}_D(E/V_r, E)$ . On a alors  $B = \operatorname{End}_A(I_r) = I_r/I_r^{\circ}I_r = \operatorname{Hom}(E/V_r, E/V_r)$  (corollaire 4.13).

Le diagramme commutatif suivant dont les flèches verticales sont données par la proposition 4.5 permet de conclure :

$$\left\{ \begin{array}{l} (I_2, \dots, I_{r-1}) \\ I_1 \subset \dots \subset I_{r-1} \subset I_r \subset A \\ I_j \text{ id\'eal \`a gauche} \\ \dim_k I_j = ni_j \end{array} \right\} \xrightarrow{\phi} \left\{ \begin{array}{l} (J_1, \dots, J_{r-1}) \\ J_1 \subset \dots \subset J_{r-1} \subset I_r/I_r^\circ I_r \\ J_j \text{ id\'eal \`a gauche} \\ \dim_k J_j = i_j i_r \end{array} \right\}$$

$$\left\{ \begin{array}{l} (V_1, \dots, V_{r-1}) \\ E \supset V_1 \supset V_2 \supset \dots \supset V_r \\ V_j \text{ sous-espace vectoriel} \\ \dim_D V_j = \frac{n-i_j}{d} \end{array} \right\} \xrightarrow{\pi} \left\{ \begin{array}{l} (W_1, \dots, W_{r-1}) \\ E/V_r \supset W_1 \supset \dots \supset W_{r-1} \\ W_j \text{ sous-espace vectoriel} \\ \dim_D W_j = \frac{i_r - i_j}{d} \end{array} \right\}$$

où  $\pi$  est la projection naturelle :  $E \to E/V_r$ .

Remarque 4.19. — Ici aussi il est possible de donner une expression explicite de la bijection réciproque. Conservons les notations du lemme, La bijection réciproque s'écrit :

$$\left\{
\begin{array}{l}
(J_1, \dots, J_{r-1}) \\
J_1 \subset \dots \subset J_{r-1} \subset I_r / I_r^{\circ} I_r \\
J_j \text{ idéal à gauche} \\
\dim_k J_j = i_j i_r
\end{array}
\right\}
\rightleftharpoons
\left\{
\begin{array}{l}
(I_1, \dots, I_{r-1}) \\
I_1 \subset \dots \subset I_{r-1} \subset I_r \subset A \\
I_j \text{ idéal à gauche} \\
\dim_k I_j = n i_j
\end{array}\right\}$$

$$(J_j)_{j=1...(r-1)} \longmapsto (A\pi_r^{-1}(J_j))_{j=1...(r-1)}$$

où  $\pi_r$  est la projection canonique  $A \to A/(I_r^{\circ}I_r)$ . La preuve est analogue à celle donnée en 4.17.

La proposition suivante est la clef de la preuve du théorème 3.2.

**Proposition 4.20.** — Soit A une algèbre d'Azumaya sur k de degré n. Soient r > 1 et  $i_1 < ... < i_r \le n$  des entiers. Soit  $s \in \{1...r\}$ . Soit  $I_s \subset A$  un idéal de k-dimension  $ni_s$  (i.e. : un point rationel de  $SB_{i_s}(A)$ ). L'application :

$$(I_1, \dots, \hat{I}_s, \dots, I_r)$$
 $\downarrow$ 
 $((I_j/I_r^{\circ}I_j)_{j=1\dots(s-1)}, (I_s^{\circ}I_j/I_s^{\circ}I_s)_{j=(s+1)\dots r})$ 

définit une bijection :

$$\left\{
\begin{array}{l}
(I_{1}, \dots, \widehat{I}_{s}, \dots, I_{r}) \\
I_{1} \subset \dots \subset I_{r} \subset A \\
I_{j} idéal à gauche \\
\dim_{k} I_{j} = ni_{j}
\end{array}
\right\} \iff
\left\{
\begin{array}{l}
(J_{1}, \dots, J_{s-1}) \\
J_{j} idéal à gauche \\
\dim_{k} J_{j} = i_{j}i_{s}
\end{array}
\right\}$$

$$\left\{
\begin{array}{l}
(J_{s+1}, \dots, J_{r}) \\
J_{s+1} \subset \dots \subset J_{r} \subset I_{s}^{\circ}/I_{s}^{\circ}I_{s} \\
J_{j} idéal à gauche \\
\dim_{k} J_{j} = (n - i_{s})(i_{j} - i_{s})
\end{array}
\right\}$$

Démonstration. — Ce sont les deux lemmes précédents.

Remarque 4.21. — Les propositions et lemmes précédents s'étendent au cas où A est une algèbre d'Azumaya sur une k-algèbre R. En effet, les flèches  $\phi$  introduites à la proposition 4.14 puis aux lemmes 4.16 et 4.18 et enfin à la proposition 4.20 ont toujours un sens si A est une algèbre d'Azumaya sur une k-algèbre R. Il en est de même de leur réciproque, données dans les remarques 4.15, 4.17 et 4.19.

#### 4.3. Preuve du théorème 3.1

Grâce aux résultats du paragraphe précédent, on est en mesure de prouver le théorème 3.1 :

 $D\'{e}monstration.$  — Fixons  $1 = i_1 < i_2 < \ldots < i_r \leqslant n$  une suite d'entiers. Notons  $S = \mathrm{SB}_{i_1}(A) = \mathrm{SB}(A)$  et  $X = \mathrm{SB}_{1,i_2,\ldots,i_r}(A)$ . Et posons, pour j > 1,  $a_j = (n-i_j)$ . Considérons l'application identité :  $S \to S$ . Elle nous fournit de facto un S-point de S i.e. un élément de S(S). Il correspond à

un faisceau d'idéaux  $\mathcal{I} \subset A \otimes_k \mathcal{O}_S$ . Soit s un L-point de S, le diagramme suivant est commutatif

$$\operatorname{Spec}(L) \xrightarrow{s} S \xrightarrow{\mathcal{I}} S .$$

Or s correspond à un idéal à gauche de k-dimension n,  $I_s$  de  $A \otimes_k L$ , on a :  $\mathcal{I}_s = I_s$ . Ou de manière abusive :  $\mathcal{I}_I = I$  en confondant  $I = I_s$  et s, abus que l'on fera dans la suite si aucune ambiguïté n'est à craindre. Comme nous avons défini l'annulateur de I,  $I^{\circ}$ , nous pouvons définir l'annulateur de  $\mathcal{I}$ ,  $\mathcal{I}^{\circ}$ . On considère alors le fibré sur S suivant :  $\mathcal{V} = \mathcal{I}^{\circ}\mathcal{I}$ . Pour tout point I de S, on a :  $\mathcal{V}_I = I^{\circ}I$ . C'est un fibré vectoriel de rang n-1 d'après le lemme 4.9.

Considérons la flèche suivante :

$$(I_1, \dots I_r) \to (I_r^{\circ} I_1, I_{(r-1)}^{\circ} I_1, \dots, I_2^{\circ} I_1 \subset I_1^{\circ} I_1)$$

Elle permet de définir pour toute k-algèbre R une application bijective (proposition 4.14 et remarque 4.21)  $X(R) \to \operatorname{Drap}_{n-i_r,\dots,n-i_2}(\mathcal{V})(R)$ . Et par suite, elle correspond à un isomorphisme :

$$X \to \operatorname{Drap}_{n-i_r,\dots,n-i_2}(\mathcal{V}). \quad \square$$

#### 4.4. Preuve du théorème 3.2

Démonstration. — Fixons  $1 \leq i_1 < i_2 < \ldots < i_r \leq n$  une suite d'entiers. Notons  $S = SB_{i_s}(A)$  et  $X = SB_{i_1,i_2,\ldots,i_r}(A)$ .

À partir du fibré  $\mathcal{I}$  sur S défini dans la preuve du théorème 3.2, définissons  $\mathcal{B}_+ = \mathcal{I}^{\circ}/\mathcal{I}^{\circ}\mathcal{I}$  et  $\mathcal{B}_- = \mathcal{I}/\mathcal{I}^{\circ}\mathcal{I}$ . D'après le lemme 4.10 et le corollaire 4.11,  $\mathcal{B}_+$  est une algèbre d'Azumaya sur S de degré  $n - i_s$  canoniquement isomorphe à  $\operatorname{End}_S \mathcal{I}^{\circ}$ . De même (4.12 et 4.13),  $\mathcal{B}_-$  est une algèbre d'Azumaya sur S de degré  $i_s$  canoniquement isomorphe à  $\operatorname{End}_S \mathcal{I}$ .

Considérons la flèche suivante :

$$(I_1, \dots, \hat{I}_s, \dots, I_r)$$

$$\downarrow$$

$$((I_j/I_r^{\circ}I_j)_{j=1\dots(s-1)}, (I_s^{\circ}I_j/I_s^{\circ}I_s)_{j=(s+1)\dots r})$$

Elle permet de définir pour toute k-algèbre R une application bijective (proposition 4.20 et remarque 4.21) :

$$X(R) \to \mathrm{SB}_{i_1,\dots,i_{s-1}}(\mathcal{B}_-) \times_{\mathrm{SB}_{i_s}(A)} \mathrm{SB}_{i_{s+1}-i_s,\dots,i_r-i_s}(\mathcal{B}_+)(R).$$

Et par suite, elle correspond à un isomorphisme

$$X \to \mathrm{SB}_{i_1,\dots,i_{s-1}}(\mathcal{B}_-) \times_{\mathrm{SB}_{i_s}(A)} \mathrm{SB}_{i_{s+1}-i_s,\dots,i_r-i_s}(\mathcal{B}_+). \quad \Box$$

#### 4.5. Preuve du corollaire 3.3

On est en mesure de prouver le corollaire 3.3 :

 $D\acute{e}monstration$ . — Ici Br(S) désigne le groupe de Brauer de S, puisque S est lisse sur k, S est un schéma régulier. Alors, d'après [14, corollaire 1.10] la flèche naturelle d'évaluation

$$Br(S) \to Br k(S)$$

est injective, où k(S) désigne le corps des fonctions de S. Or pour tout I,  $\mathcal{B}_{+I} = \operatorname{End}_A I^{\circ}$  et  $\mathcal{B}_{-I} = \operatorname{End}_A I$ . Ainsi, puisque ind  $A_{\kappa(I)} = 1$  et que d'après le corollaire 4.11, les classes de  $A_{\kappa(I)}$  et de  $\operatorname{End}_A I^{\circ}$  sont égales dans  $\operatorname{Br} \kappa(I)$ ,  $\mathcal{B}_+$  est triviale dans  $\operatorname{Br} S$ . De même,  $\mathcal{B}_-$  est triviale dans  $\operatorname{Br} S$ . Ainsi les deux flèches suivantes

$$\mathrm{SB}_{i_1,\ldots,i_{s-1}}(\mathcal{B}^-) \to \mathrm{SB}_{i_s}(A)$$

et

$$\mathrm{SB}_{i_{s+1}-i_s,\dots,i_r-i_s}(\mathcal{B}^+) \to \mathrm{SB}_{i_s}(A)$$

sont des fibrations en variétés de drapeaux non tordues, et par suite

est une fibration en produit de variétés de drapeaux non tordues.

# 5. Calcul des groupes de Chow de fibrés en drapeaux

# 5.1. Partitions d'entiers.

**Définition 5.1.** — Si n est un entier  $\geq 1$ , alors une partition de n (cf. [9, Paragraphe 2.1, définition A]) est la représentation de n comme somme d'entiers  $\geq 1$ , sans considération d'ordre dans la somme. Nous noterons par p(n) le nombre de telles représentations de n. L'entier P(n,m)

sera le nombre de telles représentations avec exactement m termes dans la somme (on parlera alors de m-partition stricte de n), et p(n,m) le nombre de telles représentations avec au plus m termes dans la somme, on parlera alors de m-partition de n:

$$p(n,m) = \sum_{i=1}^{m} P(n,i).$$

Si de plus A est un entier, une (m,A)-partition (resp. stricte) de n est une m-partition (resp. stricte) de n telle que chaque terme intervenant dans la somme soit inférieur à A. Nous noterons P(n,m,A) le nombre de telles partitions strictes , et p(n,m,A) le nombre de (m,A)-partition de n:

$$p(n, m, A) = \sum_{i=1}^{m} P(n, i, A).$$

**Remarque 5.2.** — si  $A \ge n$  alors P(n, m, A) = P(n, m). Pour des entiers n, m, A, on a :

$$p(n, m, A) = \sum_{i=1}^{m} P(n, i, A).$$

Ainsi:

$$P(n, m, A) = p(n, m, A) - p(n, m - 1, A).$$

On dispose de plusieurs caractérisations pour les m-partitions ([9, définition B et théorème A paragraphe 2.1]):

**Remarque 5.3.** — Soit n un entier  $\geq 1$ . Se donner une partition de n en exactement m termes (au sens de 5.1) est équivalent à se donner une solution de

$$\begin{cases} y_1 \geqslant \dots \geqslant y_m \geqslant 1, \\ y_1 + \dots + y_m = n. \end{cases}$$

Et cela est encore équivalent à se donner une solution de :

$$\begin{cases} x_1, \dots, x_n \ge 0, \\ x_1 + 2x_2 + \dots + nx_n = n, \\ x_1 + x_2 + \dots + x_n = m. \end{cases}$$

On a des caractérisations semblables pour les (m, A)-partitions :

**Remarque 5.4.** — Soient  $n, m, A \ge 1$  des entiers. Se donner une (m, A)-partition stricte de n est équivalent à se donner une solution du problème suivant :

$$\begin{cases} A \geqslant y_1 \geqslant \ldots \geqslant y_m \geqslant 1, \\ y_1 + \ldots + y_m = n. \end{cases}$$

Ceci est encore équivalent à se donner une solution du problème suivant :

$$\begin{cases} x_1, \dots, x_n \ge 0, \\ x_1 + 2x_2 + \dots + Ax_A = n, \\ x_1 + x_2 + \dots + x_A = m. \end{cases}$$

**Lemme 5.5**. — Soient  $n, m, A \ge 1$  des entiers.

- (i) P(n, m, 1) = 1 si m = n et 0 sinon, p(n, m, 1) = 1 si  $n \ge m$  et 0 sinon.
- (ii)  $P(n, 1, A) = 1 \text{ si } A \ge n,$  $p(n, 1, A) = 1 \text{ si } A \ge n.$
- (iii)

$$P(n, m, A) \geqslant 1 \iff m \leqslant n \leqslant mA$$

et

$$p(n, m, A) \geqslant 1 \iff n \leqslant mA$$
.

 $D\'{e}monstration.$  — Supposons  $n, m, A \geqslant 1$  donnés. Les assertions (i) et (ii) sont évidentes. Pour (iii),  $P(n, m, A) \geqslant 1$  signifie que l'on dispose de m entiers compris entre 1 et A, disons  $x_1, \ldots, x_m$  tels que  $n = x_1 + \ldots + x_m$ . Nécessairement, on doit avoir  $m \leqslant n \leqslant mA$ . Inversement, si l'on suppose que  $m \leqslant n \leqslant mA$ , il est immédiat de voir que  $P(n, m, A) \geqslant 1$ . Pour p(n, m, A), il suffit de remarquer que  $p(n, m, A) = \sum_{i=1}^m P(n, i, A)$ .

Le théorème suivant est une généralisation du théorème B du paragraphe 2.1 de [9].

**Théorème 5.6**. — Soient  $n, m, A \ge 1$  des entiers tels que n > m, m > 1 et A > 1. Alors on a:

$$p(n, m, A) = p(n, m - 1, A) + p(n - m, m, A - 1)$$

 $D\acute{e}monstration.$  — L'entier p(n,m,A) est le nombre de solutions du problème suivant :

$$\begin{cases} x_1, \dots, x_n \ge 0, \\ x_1 + 2x_2 + \dots + Ax_A = n, \\ x_1 + x_2 + \dots + x_A \le m. \end{cases}$$

Or ces solutions se décomposent en 2 groupes, celui consistant en les solutions telles que  $x_1 + \ldots + x_A = m$  et celui consistant en les solutions telles que  $x_1 + \ldots + x_A < m$ . Dans le second groupe, il y a exactement p(n, m-1, A) éléments. Il reste donc à connaître le cardinal du premier groupe. Or se donner une solution de :

$$\begin{cases} x_1, \dots, x_A \geqslant 0, \\ x_1 + 2x_2 + \dots + Ax_A = n, \\ x_1 + x_2 + \dots + x_A = m \end{cases}$$

est équivalent à se donner une solution de :

$$\begin{cases}
A \geqslant y_1 \geqslant \ldots \geqslant y_m \geqslant 1, \\
y_1 + \ldots + y_m = n,
\end{cases}$$

qui est équivalent à se donner une solution pour  $s \leq m$  de :

$$\begin{cases} A-1 \geqslant y_1 \geqslant \ldots \geqslant y_s \geqslant 1, \\ y_1+\ldots+y_s = n-m. \end{cases}$$

Donc le cardinal du premier groupe est p(n-m, m, A-1).

**Corollaire 5.7.** — [9, Paragraphe 2.1, Théorème B] *Pour des entiers*  $n, m \ge 1$  tels que n > m et m > 1, on a :

$$p(n,m) = p(n,m-1) + p(n-m,m).$$

 $D\acute{e}monstration.$  — Il suffit de prendre A assez grand dans le théorème précédent.

Le théorème suivant est une variante du théorème d'Euler calculant la fonction génératrice de P(n). Il est à rapprocher du théorème A du paragraphe 2.2 de [9].

**Théorème 5.8**. — Fixons un entier  $A \in \mathbb{N}^*$ . La fonction génératrice de P(n, m, A) (appartenant à  $\mathbf{Z}[[x, y]]$ ) est :

$$\Xi_A(x,y) = \prod_{i=1}^A \frac{1}{1 - xy^i} = \sum_{n,m} P(n,m,A) x^m y^n.$$

Démonstration. — Développons le produit :

$$\prod_{i=1}^{A} \frac{1}{1 - xy^{i}} = \prod_{i=1}^{A} (\sum_{j_{i} \geqslant 0} x^{j_{i}} y^{ij_{i}})$$

$$= \sum_{x_{1}, \dots, x_{A}} x^{x_{1} + \dots + x_{A}} y^{x_{1} + 2x_{2} + \dots + Ax_{A}}$$

Il suffit alors de considérer les différentes caractérisations des partitions, voir la remarque 5.4.

**Définition 5.9.** — Soit  $n \ge 1$  un entier. Soient  $r \ge 1$ ,  $m_1 \dots, m_r$  et  $A_1, \dots, A_r$  2r entiers, une  $((m_1, A_1), \dots, (m_r, A_r))$ -partition stricte de n est une solution du système en les  $y_{i,j}$  suivant :

$$\begin{cases} \forall i = 1 \dots r \begin{cases} A_i \geqslant y_{i,1} \geqslant \dots \geqslant y_{i,m_i} \geqslant 1 \\ y_{i,1} + \dots + y_{i,m_i} = n_i \end{cases} \\ n_1, \dots, n_r \geqslant 0 \\ n_1 + \dots + n_r = n \end{cases}$$

Nous noterons  $Q(n,(m_1,A_1),\ldots,(m_r,A_r))$  le nombre de telles partitions. L'entier  $q(n,(m_1,A_1),\ldots,(m_r,A_r))$  sera le cardinal des  $(s_1,A_1),\ldots,(s_r,A_r)$ -partitions strictes de n pour  $s_1\leqslant m_1,\ldots,s_r\leqslant m_r$ , i.e. le nombre de solutions du problème suivant :

$$\begin{cases} \forall i = 1 \dots r \begin{cases} A_i \geqslant y_{i,1} \geqslant \dots \geqslant y_{i,m_i} \geqslant 0 \\ y_{i,1} + \dots + y_{i,m_i} = n_i \end{cases} \\ n_1, \dots, n_r \geqslant 0 \\ n_1 + \dots + n_r = n \end{cases}$$

On parlera alors de  $((m_1, A_1), \ldots, (m_r, A_r))$ -partition de n.

**Notation 5.10.** — Pour des entiers m, A, on notera  $\pi_{(m,A)}$  la distribution associée à la fonction p:

$$\begin{array}{ccc} \mathbf{N} & \rightarrow & \mathbf{N} \\ i & \mapsto & \pi_{(m,A)}(i) = p(i,m,A). \end{array}$$

Rappelons la définition du produit de convolution :

**Définition 5.11.** — Soient f, g deux fonctions sur  $\mathbf{N}$ . Le produit de convolution est la fonction sur  $\mathbf{N}$  définie de la façon suivante :

$$\mathbf{N} \to \mathbf{N}$$
  
 $n \mapsto (f \star g)(n) = \sum_{l=0}^{n} f(n-l)g(l).$ 

Remarque 5.12. — Reprenons les notations de la définition précédente. Si l'on définit les deux séries formelles (appartenant à l'anneau  $\mathbf{Z}[[t]]$ ) :

$$F(t) = \sum_{n} f(n)t^{n}$$
  

$$G(t) = \sum_{n} g(n)t^{n}$$

où  $\forall n, f(n), g(n) \in \mathbf{Z}$ . Alors la série produit FG (i.e. le produit de F et G dans l'anneau  $\mathbf{Z}[[t]]$ ) est exactement :

$$FG(t) = \sum_{n} f \star g(n)t^{n}.$$

Remarque 5.13. — L'opérateur  $\star$  est associatif et commutatif et l'élément unité est la fonction qui vaut 1 en 0 et 0 ailleurs.

Le théorème suivant permet de calculer les fonctions q à partir des fonctions p :

**Théorème 5.14**. — Soient  $r \geqslant 1$  et  $(m_1, A_1), \ldots, (m_r, A_r)$  des entiers. Alors:

$$q(-, (m_1, A_1), \dots, (m_r, A_r)) = \pi_{(m_1, A_1)} \star \dots \star \pi_{(m_r, A_r)}$$

c'est-à-dire la distribution associée à  $q(-,(m_1,A_1),\ldots,(m_r,A_r))$  est le produit de convolution des distributions associées à  $p(-,m_i,A_i)$ .

Démonstration. — Fixons un n. Pour r=1, c'est clair, puisque  $q(n,(m_1,A_1))=p(n,m_1,A_1)$ . En effet,  $\pi_{(m_1,A_1)}(n_1)=p(n_1,m_1,A_1)$  est exactement le nombre de solutions de :

$$\begin{cases} A_1 \geqslant y_1 \geqslant \ldots \geqslant y_m \geqslant 0, \\ y_1 + \ldots + y_m = n_1. \end{cases}$$

Supposons donc  $r \ge 2$ .  $q(n, (m_1, A_1), \ldots, (m_r, A_r))$  compte le nombre de solutions de :

$$\begin{cases}
A_1 \geqslant y_{1,1} \geqslant \dots \geqslant y_{1,m_1} \geqslant 0 \\
y_{1,1} + \dots + y_{1,m_1} = n_1
\end{cases}$$

$$\vdots$$

$$\begin{cases}
A_r \geqslant y_{r,1} \geqslant \dots \geqslant y_{r,m_r} \geqslant 0 \\
y_{r,1} + \dots + y_{r,m_r} = n_r
\end{cases}$$

$$n_1, \dots, n_r \geqslant 0$$

$$n_1 + \dots + n_r = n$$

autrement dit, cet entier compte les solutions de :

$$\begin{cases}
\begin{cases}
A_1 \geqslant y_{1,1} \geqslant \dots \geqslant y_{1,m_1} \geqslant 0 \\
y_{1,1} + \dots + y_{1,m_1} = n_1
\end{cases} \\
\vdots \\
\begin{cases}
A_r \geqslant y_{r-1,1} \geqslant \dots \geqslant y_{r,m_{r-1}} \geqslant 0 \\
y_{r-1,1} + \dots + y_{r-1,m_{r-1}} = n_r
\end{cases} \\
\begin{cases}
n_1, \dots, n_{r-1} \geqslant 0 \\
n_1 + \dots + n_{r-1} = m
\end{cases} \\
\begin{cases}
A_r \geqslant y_{1,r} \geqslant \dots \geqslant y_{1,m_r} \geqslant 0 \\
y_{1,r} + \dots + y_{1,m_r} = n_r
\end{cases} \\
\begin{cases}
n_r \geqslant 0 \\
m + n_{r-1} = n
\end{cases}$$

Donc

$$q(n, (m_1, A_1), \dots, (m_r, A_r)) = \sum_{n_r=1}^n \sum_{m=1}^n \pi_{(m_r, A_r)}(n_r) \times q(m, (m_1, A_1), \dots, (m_{r-1}, A_{r-1})) \times \chi_n(m+n_r)$$

où  $\chi_n$  est la fonction caractéristique de n qui vaut toujours 0 sauf en n où elle vaut 1. Le résultat est alors acquis par récurrence sur r.

**Remarque 5.15**. — Dans la suite, on écrira  $y = (A \geqslant y_1 \geqslant \ldots \geqslant y_m \geqslant 0)$  pour désigner une solution du problème suivant :

$$\begin{cases} A \geqslant y_1 \geqslant \dots \geqslant y_m \geqslant 0 \\ y_1 + \dots + y_m = n \end{cases}$$

Et on écrira |y| pour  $y_1 + \ldots + y_m$ . Donc,  $y = (A \geqslant y_1 \geqslant \ldots \geqslant y_m \geqslant 0)$  est une (m, A)-partition de |y|.

#### 5.2. Fibration en grassmanniennes.

**Définition 5.16**. — Soit  $\lambda = (\lambda_1 \geqslant \ldots \geqslant \lambda_d)$  une partition. Soient  $c_i$  pour  $i \geqslant 1$  des indéterminées. On définit le polynôme de Schur correspondant :

$$\Delta_{\lambda}(c) = \Delta_{\lambda_1,\dots,\lambda_d}(c) = \det(c_{\lambda_j+j-i}) \in \mathbf{Z}[c_i, i \in \mathbf{N}^*]$$

en posant  $c_n = 0$  si n < 0, et  $c_0 = 1$ .

**Notation 5.17**. — Soit  $\mathcal{E}$  un fibré vectoriel de rang n sur une variété X. Soit d un entier plus petit que n, posons  $Y = \operatorname{Drap}_d(\mathcal{E})$ , le fibré en d-grassmanniennes associé à  $\mathcal{E}$ . Notons f la projection  $Y \to X$ . On dispose

d'une suite exacte universelle :

$$0 \longrightarrow \mathcal{S} \longrightarrow f^*(\mathcal{E}) \longrightarrow \mathcal{Q} \longrightarrow 0$$

où S est le sous-fibré tautologique de rang d, et Q le fibré quotient tautologique de rang n-d. On pose pour  $i \ge 0$ :

$$c_i = c_i(\mathcal{Q} - f^*(\mathcal{E})) = c_i(\mathcal{S})$$

où la fonction  $c_i$  est la *i*-ème classe de Chern ([11, Section 3.2] pour leur définition et propriétés). Pour une partition  $\lambda = (\lambda_1 \ge \ldots, \ge \lambda_d)$ , on notera si aucune ambiguïté n'est à craindre  $\Delta_{\lambda}$  le polynôme de Schur (définition précédente) associé à ces valeurs de  $c_i$ .

D'après [11, Proposition 14.6.5], on a le résultat suivant (dit théorème de la base) qui est une généralisation de la formule de Giambella ([11, Proposition 14.6.4]):

**Proposition 5.18**. — Si X est une variété sur k de dimension N, et  $\mathcal{E}$  un fibré de rang n, alors pour d < n et  $k \leq d(n-d)$ , il existe un isomorphisme canonique

$$\bigoplus_{\lambda} \mathrm{CH}^{k-|\lambda|}(X) \to \mathrm{CH}^{k}(\mathrm{SB}_{d}(\mathcal{E}))$$

$$\alpha_{\lambda} \mapsto \Delta_{\lambda}.f^{*}(\alpha_{\lambda})$$

où la somme est prise sur toutes les partitions  $\lambda = (\lambda_1 \geqslant \ldots \geqslant \lambda_d)$  telles que  $n - d \geqslant \lambda_1 \geqslant \ldots \geqslant \lambda_d \geqslant 0$ , et  $\Delta_{\lambda}$  a été définie précédemment.

Corollaire 5.19. — Avec les notations de la proposition précédente, on dispose d'un isomorphisme :

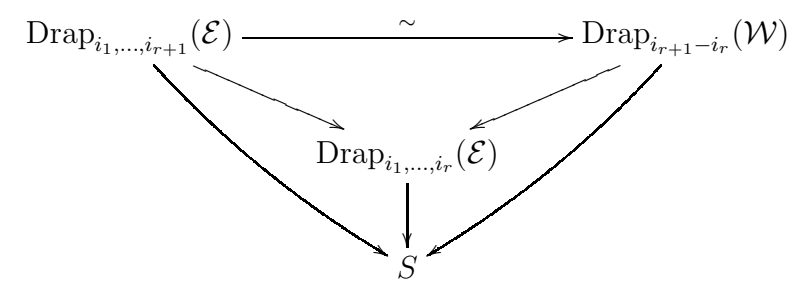
$$\mathrm{CH}^k(\mathrm{Drap}_d(\mathcal{E})) \to \bigoplus_{i=0}^k \mathrm{CH}^{k-i}(X)^{p(i,d,n-d)}$$

où la fonction p a été définie au paragraphe précédent.

 $D\'{e}monstration$ . — Il suffit de remarquer que le nombre de partitions  $\lambda = (\lambda_1 \geqslant \ldots \geqslant \lambda_d)$  avec  $n - d \geqslant \lambda_1 \geqslant \ldots \geqslant \lambda_d \geqslant 0$  avec  $|\lambda| = i$  pour un i donné est exactement le nombre de (d, n - d)-partitions de i.

**Lemme 5.20**. — Soient S une k-variété et  $\mathcal{E}$  un fibré vectoriel de rang n sur S. Soient  $r \ge 1$  et  $1 \le i_1 \le \ldots i_{r+1} \le n$  des entiers. Posons Y =

 $\operatorname{Drap}_{i_1,\dots,i_{r+1}}(\mathcal{E})$  et  $X=\operatorname{Drap}_{i_1,\dots,i_r}(\mathcal{E})$ . Alors il existe un fibré vectoriel  $\mathcal{W}$  sur X de rang  $n-i_r$  tel que l'on ait le diagramme commutatif suivant :



 $D\acute{e}monstration.$  — On dispose sur  $\mathrm{Drap}_{i_r}(\mathcal{E})$  du fibré tautologique  $\mathcal{V}_r$  tel que pour tout  $W\in\mathrm{Drap}_{i_r}(\mathcal{E})$ , on ait  $(\mathcal{V}_r)_W=W$  (la construction est la même que dans la preuve du théorème 3.1). Notons  $\pi_r$  la projection naturelle  $\mathrm{Drap}_{i_1,\ldots,i_r}(\mathcal{E})\to\mathrm{Drap}_{i_r}(\mathcal{E})$  et  $\pi$  la projection  $\mathrm{Drap}_{i_1,\ldots,i_r}(\mathcal{E})\to S$ . On a une inclusion  $\pi_r^*\mathcal{V}_r\to\pi^*\mathcal{E}$ . Alors on construit le fibré vectoriel  $\mathcal{W}$  sur  $\mathrm{Drap}_{i_1,\ldots,i_r}(\mathcal{E})$  comme étant le quotient, i.e. tel que la suite suivante soit exacte :

$$0 \longrightarrow \pi_r^* \mathcal{V}_r \longrightarrow \pi^* \mathcal{E} \longrightarrow \mathcal{W} \longrightarrow 0.$$

Ainsi, pour tout  $(V_1, \ldots, V_r) \in X$ ,  $\mathcal{W}_{(V_1, \ldots, V_r)} = \mathcal{E}_{\pi(V_1, \ldots, V_r)}/V_r$ .  $\mathcal{W}$  est donc un fibré de rang  $n - i_r$ .

L'application  $(V_1, \ldots, V_{r+1}) \mapsto V_{r+1}/V_r$  fournit donc pour toute k-algèbre R une application :  $\operatorname{Drap}_{i_1, \ldots, i_{r+1}}(\mathcal{E})(R) \to \operatorname{Drap}_{i_{r+1}-i_r}(\mathcal{W})(R)$ . Cette application correspond à un isomorphisme :

$$\operatorname{Drap}_{i_1,\dots,i_{r+1}}(\mathcal{E}) \xrightarrow{\sim} \operatorname{Drap}_{i_{r+1}-i_r}(\mathcal{W}). \quad \square$$

#### 5.3. Fibration en variétés de drapeaux

En itérant le lemme 5.20, on obtient la proposition suivante :

**Proposition 5.21**. — Si S est une variété sur k,  $\mathcal{E}$  un fibré de rang n sur S,  $r \geqslant 1$  un entier, et  $1 \leqslant i_1 < \ldots < i_r \leqslant n$  une suite d'entiers, alors pour tout k, on a un isomorphisme :

$$\mathrm{CH}^k(\mathrm{Drap}_{i_1,i_2,\ldots,i_r}(\mathcal{E})) \to \bigoplus_{\lambda_1,\ldots,\lambda_r} \mathrm{CH}^{k-|\lambda_1|-\ldots-|\lambda_r|}(S)$$

où la somme est prise sur toutes les partitions  $\lambda_s = (n - i_s \geqslant \lambda_{s,1} \geqslant \ldots \geqslant \lambda_{s,i_s-i_{s-1}} \geqslant 0)$  pour  $s \in \{1,\ldots,r\}$ , en définissant  $i_0 = 0$ .

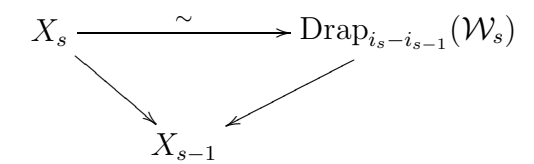
Démonstration. — Posons  $X_0 = S$ , et pour  $s \in \{1, ..., n\}$ ,  $X_s = \text{Drap}_{i_1, ..., i_s}(\mathcal{E})$ .

D'une part,  $X_1 \to X_0$  étant par construction même une fibration en grassmanniennes, on a, d'après la proposition 5.18, un isomorphisme :

$$\mathrm{CH}^k(X_1) \to \bigoplus_{\lambda_1} \mathrm{CH}^{k-|\lambda_1|}(X_0)$$

où la somme est prise sur toutes les partitions  $\lambda_1 = (\lambda_{1,1} \geqslant \ldots \geqslant \lambda_{1,i_1})$  telles que  $n - i_1 \geqslant \lambda_{1,1} \geqslant \ldots \geqslant \lambda_{1,i_1} \geqslant 0$ .

D'autre part, d'après le lemme 5.20, pour tout  $s \in \{2 \dots r\}$ , la projection naturelle  $X_s \to X_{s-1}$  est une fibration en grassmanniennes, i.e. : il existe un fibré vectoriel  $\mathcal{W}_s$  sur  $X_{s-1}$  de rang  $n-i_{s-1}$  tel que le diagramme suivant soit commutatif :

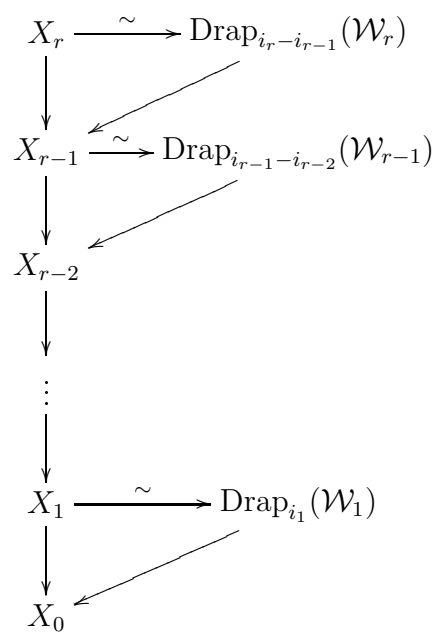


et ainsi d'après la proposition 5.18, on a un isomorphisme :

$$\operatorname{CH}^k(X_s) \to \bigoplus_{\lambda_s} \operatorname{CH}^{k-|\lambda^s|}(X_{s-1})$$

où la somme est prise sur toutes les partitions  $\lambda_s = (\lambda_{s,1} \ge ... \ge \lambda_{s,i_s-i_{s-1}})$  telles que  $n-i_s \ge \lambda_{s,1} \ge ... \ge \lambda_{s,i_s-i_{s-1}} \ge 0$ .

Par récurrence, il suffit alors de considérer le diagramme commutatif suivant :



En particulier  $W_1 = \mathcal{E}$ . Donc on obtient un isomorphisme :

$$\mathrm{CH}^k(\mathrm{Drap}_{i_1,i_2,\dots,i_r}(\mathcal{E})) \to \bigoplus_{\lambda_1,\dots,\lambda_r} \mathrm{CH}^{k-|\lambda_1|-\dots-|\lambda_r|}(S)$$

où la somme est prise sur toutes les partitions  $\lambda_s = (\lambda_{s,1} \geqslant \ldots \geqslant \lambda_{s,i_s-i_{s-1}})$  telles que  $n-i_s \geqslant \lambda_{s,1} \geqslant \ldots \geqslant \lambda_{s,i_s-i_{s-1}} \geqslant 0$  pour  $s=1,\ldots,r,$  en définissant  $i_0=0$ .

Corollaire 5.22. — Conservons les notations de la proposition précédente, on a un isomorphisme :

$$\operatorname{CH}^{k}(\operatorname{Drap}_{i_{1},i_{2},\dots,i_{r}}(\mathcal{E})) \to \bigoplus_{i=0}^{k} (\operatorname{CH}^{k-i}(S))^{n_{i}}$$

où  $n_i = q(i, (i_1, n - i_1), (i_2 - i_1, n - i_2), \dots, (i_r - i_{r-1}, n - i_r))$  (la fonction q est définie au paragraphe précédent).

Démonstration. — Il suffit de remarquer que pour un i donné, le nombre d'occurrences de i dans la somme  $|\lambda_1|+\ldots+|\lambda_r|$  pour toutes les partitions  $\lambda_s = (\lambda_{s,1} \geqslant \ldots \lambda_{s,i_s-i_{s-1}})$  telles que  $n-i_s \geqslant \lambda_{s,1} \geqslant \ldots \geqslant \lambda_{s,i_s-i_{s-1}} \geqslant 0$ ) pour  $s \in \{1,\ldots,r\}$  est exactement le nombre de  $((i_1,n-i_1),(i_2-i_1,n-i_2),\ldots,(i_r-i_{r-1},n-i_r))$ -partitions de i. Donc il y a exactement

 $q(i, (i_1, n - i_1), (i_2 - i_1, n - i_2), \dots, (i_r - i_{r-1}, n - i_r))$  occurrences de i dans la somme.

## 5.4. Fibration en produit de variétés de drapeaux.

Ici encore, il s'agit d'une conséquence du lemme 5.20.

**Proposition 5.23.** — Soient S une variété sur k,  $\mathcal{E}_{-}$  et  $\mathcal{E}_{+}$  deux fibrés vectoriels sur S de rang  $n_{-}$  et  $n_{+}$  respectivement,  $1 \leq s \leq r \leq n$  deux entiers, et  $1 \leq i_{1} < \ldots < i_{s} \leq n_{-}$  et  $1 \leq i_{s+1} < \ldots < i_{r} \leq n_{+}$  deux suites d'entiers. Posons  $X = \operatorname{Drap}_{i_{1},\ldots,i_{s}}(\mathcal{E}_{-})$  et  $Y = \operatorname{Drap}_{i_{s+1},\ldots,i_{r}}(\mathcal{E}_{+})$ . Alors pour tout k, on a un isomorphisme:

$$\operatorname{CH}^{k}(X \times_{S} Y) \to \bigoplus_{\lambda_{1}, \dots, \lambda_{r}} \operatorname{CH}^{k-|\lambda_{1}|-\dots-|\lambda_{r}|}(S)$$

 $où\ la\ somme\ est\ prise\ sur\ toutes\ les\ partitions$  :

$$\lambda_{1} = (n_{-} - i_{1} \geqslant \lambda_{1,1} \geqslant \dots \geqslant \lambda_{1,i_{1}} \geqslant 0) 
\lambda_{2} = (n_{-} - i_{2} \geqslant \lambda_{2,1} \geqslant \dots \geqslant \lambda_{2,i_{2}-i_{1}} \geqslant 0) 
\vdots \vdots \vdots 
\lambda_{s} = (n_{-} - i_{s} \geqslant \lambda_{s,1} \geqslant \dots \geqslant \lambda_{s,i_{s}-i_{s-1}} \geqslant 0) 
\lambda_{s+1} = (n_{+} - i_{s+1}) \geqslant \lambda_{s+1,1} \geqslant \dots \geqslant \lambda_{s+1,i_{s+1}} \geqslant 0) 
\lambda_{s+2} = (n_{+} - i_{s+2} \geqslant \lambda_{s+2,1} \geqslant \dots \geqslant \lambda_{s+2,i_{s+2}-i_{s+1}} \geqslant 0) 
\vdots \vdots \vdots 
\lambda_{r} = (n_{+} - i_{r} \geqslant \lambda_{r,1} \geqslant \dots \geqslant \lambda_{r,i_{r}-i_{r-1}} \geqslant 0).$$

Démonstration. — Considérons le carré cartésien suivant :

$$X \times_{S} Y \xrightarrow{\pi_{X}} X$$

$$\downarrow^{\pi_{Y}} \quad \Box \quad \downarrow^{f_{X}}$$

$$Y \xrightarrow{f_{Y}} S$$

Alors il suffit d'appliquer la proposition 5.21 aux deux fibrations en variétés de drapeaux :  $X \to S$  et  $X \times_S Y \to X$ .

Corollaire 5.24. — Conservons les notations de la proposition précédente. On a un isomorphisme :

$$\mathrm{CH}^k(X \times_S Y) \to \oplus_{i=0}^k (\mathrm{CH}^{k-i} S)^{n_i}$$

où  $n_i = q(i, (i_1, n_- - i_1), (i_2 - i_1, n_- - i_2), \dots, (i_s - i_{s-1}, n_- - i_s), (i_{s+1}, n_+ - i_{s+1}), (i_{s+2} - i_{s+1}, n_+ - i_{s+2}), \dots, (i_r - i_{r-1}, n_+ - i_r)).$  (la fonction q a été définie au paragraphe précédent).

Démonstration. — La preuve est analogue à celle du corollaire 5.22.

# 6. Applications

## 6.1. Groupes de Chow des variétés de drapeaux tordues

Grâce aux résultats sur le calcul des groupes de Chow des variétés de drapeaux du paragraphe précédent, au théorème 3.1 et aux corollaires 3.3 et 3.4, on est en mesure de calculer de façon explicite les groupes de Chow des variétés tordues sous quelques hypothèses.

6.1.1. 
$$Cas i_1 = 1$$

Si l'on est sous les hypothèses du théorème 3.1 :

**Proposition 6.1.** — Soient A une algèbre d'Azumaya sur k de degré n et  $1 \le i_1 < \ldots < i_r \le n$  des entiers. On suppose que  $i_1 = 1$ . Alors on a un isomorphisme:

$$\mathrm{CH}^k(\mathrm{SB}_{1,i_2,\dots,i_r}(A)) \to \bigoplus_{\lambda_r,\dots,\lambda_2} \mathrm{CH}^{k-|\lambda_r|-\dots-|\lambda_2|}(\mathrm{SB}(A))$$

où la somme est prise sur toutes les partitions  $\lambda_s = (\lambda_{s,1} \geqslant \ldots \geqslant \lambda_{s,i_{r-s+3}-i_{r-s+2}})$  telles que  $i_{r-s+2}-1\geqslant \lambda_{s,1}\geqslant \ldots \geqslant \lambda_{s,i_{r-s+3}-i_{r-s+2}}\geqslant 0$  pour  $s\in\{2,\ldots,r\}$  en posant  $i_{r+1}=n$ , et un isomorphisme :

$$\operatorname{CH}^{k}(\operatorname{SB}_{1,i_{2},\dots,i_{r}}(A)) \to \bigoplus_{i=0}^{k} \operatorname{CH}^{k-i}(\operatorname{SB}(A))^{n_{i}}$$

avec 
$$n_i = q(i, (i_{r+1} - i_r, i_r - 1), (i_r - i_{r-1}, i_{r-1} - 1), \dots, (i_3 - i_2, i_2 - 1)).$$

 $D\'{e}monstration$ . — C'est l'application de la proposition 5.21 et du corollaire 5.22 à un fibré de rang n-1 sachant le résultat du théorème 3.1.

#### 6.1.2. Sous les hypothèses du corollaire 3.3

**Proposition 6.2.** — Soient A une algèbre d'Azumaya sur k de degré n et  $1 \leq i_1 < \ldots < i_r \leq n$  des entiers. Conservons les hypothèses du corollaire 3.3. Alors on a un isomorphisme :

$$\operatorname{CH}^{k}(\operatorname{SB}_{i_{1},i_{2},\ldots,i_{r}}(A)) \to \bigoplus_{\lambda_{1},\ldots,\widehat{\lambda_{s}},\ldots,\lambda_{r}} \operatorname{CH}^{k-|\lambda_{1}|-\ldots-|\widehat{\lambda_{s}}|-\ldots-|\lambda_{r}|}(\operatorname{SB}_{i_{s}}(A))$$

où la somme est prise sur toutes les partitions

$$\lambda_{1} = (i_{s} - i_{1} \geqslant \lambda_{1,1} \geqslant \dots \geqslant \lambda_{1,i_{1}} \geqslant 0)$$

$$\lambda_{2} = (i_{s} - i_{2} \geqslant \lambda_{2,1} \geqslant \dots \geqslant \lambda_{2,i_{2}-i_{1}} \geqslant 0)$$

$$\vdots \quad \vdots \quad \vdots$$

$$\lambda_{s-1} = (i_{s} - i_{s-1} \geqslant \lambda_{s-1,1} \geqslant \dots \geqslant \lambda_{s-1,i_{s-1}-i_{s-2}} \geqslant 0)$$

$$\lambda_{s+1} = (n - i_{s+1} \geqslant \lambda_{s+1,1} \geqslant \dots \geqslant \lambda_{s+1,i_{s+1}-i_{s}} \geqslant 0)$$

$$\lambda_{s+2} = (n - i_{s+2} \geqslant \lambda_{s+2,1} \geqslant \dots \geqslant \lambda_{s+2,i_{s+2}-i_{s+1}} \geqslant 0)$$

$$\vdots \quad \vdots \quad \vdots$$

$$\lambda_{r} = (n - i_{r} \geqslant \lambda_{r,1} \geqslant \dots \geqslant \lambda_{r,i_{r}-i_{r-1}} \geqslant 0).$$

De plus, on a un isomorphisme:

$$\operatorname{CH}^{k}(\operatorname{SB}_{i_{1},i_{2},\dots,i_{r}}(A)) \to \bigoplus_{i=0}^{k} \operatorname{CH}^{k-i}(\operatorname{SB}_{i_{s}}(A))^{n_{i}}$$

$$où n_i = q(i, (i_1, i_s - i_1), (i_2 - i_1, i_s - i_2), \dots, (i_{s-1} - i_{s-2}, i_s - i_{s-1}), (i_{s+1} - i_s, n - i_{s+1}), (i_{s+2} - i_{s+1}, n - i_{s+2}), \dots, (i_r - i_{r-1}, n - i_r)).$$

Démonstration. — C'est l'application de la proposition 5.23 et du corollaire 5.24 sachant les résultats du théorème 3.2 et du corollaire 3.3. □

**Remarque 6.3.** — Si l'on est sous les hypothèses du corollaire 3.4, alors, avec les mêmes notations, on dispose d'un  $s \in \{1, ..., r\}$  tel que le corollaire 3.3 puisse s'appliquer. Et par suite, la proposition précédente est encore valable avec ce s.

Remarquons que l'on a  $n_0 = 1$ . Ainsi, dans les deux propositions précédentes (6.1 et 6.2), pour un k donné, il existe des entiers  $n_i$  tels que l'on ait un isomorphisme :

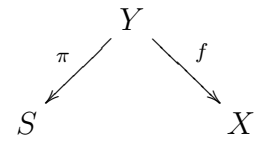
$$\operatorname{CH}^k(X) \to \operatorname{CH}^k(S) \oplus (\bigoplus_{i \ge 1} \operatorname{CH}^{k-i}(S)^{n_i})$$

où X est la variété de drapeaux considérée et S la base sur laquelle on projette (SB(A) ou SB<sub>is</sub>(A)). Et, par suite, on a :

Corollaire 6.4. — Plaçons-nous, soit dans les hypothèses de la proposition 6.1 soit dans celles de la proposition 6.2. Notons X la variété de drapeaux considérée et S la base (variété de Severi-Brauer) sur laquelle on projette. Soit k un entier. Si les groupes de Chow de S n'ont pas de torsion en codimension plus petite que k, alors il en va de même pour ceux de X, et la réciproque est vraie.

# 6.1.3. Calcul à partir d'une variété de Severi-Brauer

Fixons une algèbre d'Azumaya A sur k de degré n. Soient  $1 \leq i_1 < \ldots < i_r \leq n$  des entiers. Supposons que  $(\operatorname{ind} A, i_1, \ldots, i_r) = 1$ . Posons  $X = \operatorname{SB}_{i_1,\ldots,i_r}(A)$  et  $S = \operatorname{SB}(A)$ . On souhaite calculer les groupes de Chow de X à partir de ceux de S. Si  $i_1 = 1$ , alors la proposition 6.1 permet de voir que les groupes de Chow de X se calculent explicitement à partir de ceux de S. Supposons donc désormais que  $1 < i_1$ . Posons  $Y = \operatorname{SB}_{1,i_1,\ldots,i_r}(A)$ . Considérons le diagramme suivant :



où la flèche f est l'application  $(I, I_1, \ldots, I_r) \mapsto (I_1, \ldots, I_r)$ .

**Lemme 6.5**. — l'application  $f: Y \to X$  est une fibration en espaces projectifs.

 $D\'{e}monstration$ . — L'application f est une fibration en variétés de Severi-Brauer. Puisque (ind  $A, i_1, \ldots, i_r$ ) = 1, alors l'image de la classe de A dans Br(k(X)) est triviale (cf [25, (5.11)]). En outre, la classe de A et celle de  $\mathcal{B}_-$  ont même image dans Br(k(X)). On en déduit alors que la classe de  $\mathcal{B}_-$  est triviale.

On a donc, pour un entier k, les deux isomorphismes suivants :

$$\operatorname{CH}^{k}(Y) \to \bigoplus_{i=1}^{n-1} \operatorname{CH}^{k-i}(X)$$
 et  $\operatorname{CH}^{k}(Y) \to \bigoplus_{i} \operatorname{CH}^{k-i}(S)^{n_{i}}$ 

avec  $n_i = q(i, (n - i_r, i_r - 1), (i_r - i_{r-1}, i_{r-1} - 1), \dots, (i_2 - i_1, i_1 - 1))$ . La seconde équation résulte simplement de la proposition 6.1. Quant à la première équation, il s'agit de la formule classique du calcul des groupes de Chow d'un fibré projectif en fonction des groupes de Chow de sa base (cas particulier de la proposition 5.18).

On a donc la proposition suivante :

**Proposition 6.6**. — Pour tout k on a une suite exacte:

$$0 \longrightarrow \bigoplus_{i} \operatorname{CH}^{k-1-i}(S)^{n_i} \longrightarrow \bigoplus_{i} \operatorname{CH}^{k-i}(S)^{n_i} \longrightarrow \operatorname{CH}^k(X) \longrightarrow 0.$$

 $D\acute{e}monstration$ . — On a en effet une suite exacte pour tout k:

$$0 \longrightarrow \operatorname{CH}^{k-1}(Y) \longrightarrow \operatorname{CH}^k(Y) \longrightarrow \operatorname{CH}^k(X) \longrightarrow 0.$$

**Remarque 6.7.** — Ainsi  $\operatorname{CH}^k(X)$  s'identifie à un quotient du groupe  $\bigoplus_i \operatorname{CH}^{k-i}(S)^{n_i}$  par  $\bigoplus_i \operatorname{CH}^{k-1-i}(S)^{n_i}$ , mais l'injection

$$\bigoplus_i \operatorname{CH}^{k-1-i}(S)^{n_i} \to \bigoplus_i \operatorname{CH}^{k-i}(S)^{n_i}$$

n'est pas simple et fait intervenir les polynômes de Schur liés à la fibration  $Y \to X$ .

On peut en déduire aisément le corollaire suivant :

Corollaire 6.8. — Conservons les mêmes notations. Soit k un entier. Si les groupes de Chow de S n'ont pas de torsion en codimension plus petites que k, alors il en va de même pour ceux de X, et la réciproque est vraie.

# **6.2.** Exemple: CH<sup>2</sup> sans torsion

**Remarque 6.9.** — Supposons que  $X \to S$  soit une projection de k-variétés telle qu'il existe des entiers  $n_{k,i}$ , de sorte que pour tout k, on ait un isomorphisme :

$$\mathrm{CH}^k(X) \to \oplus_{i=0}^k (\mathrm{CH}^{k-i}(S))^{n_{k,i}}.$$

Alors, si les groupes de Chow de S en codimension  $\leq k_0$  n'ont pas de torsion, alors les groupes de Chow de X en codimension  $\leq k_0$  n'ont pas de torsion.

**Proposition 6.10**. — Si X est une variété projective homogène sous un groupe linéaire, alors  $CH^0(X)_{tors} = 0$  et  $CH^1(X)_{tors} = 0$ .

 $D\acute{e}monstration$ . — Pour le CH<sup>0</sup> le résultat est clair. Pour le CH<sup>1</sup>, il suffit de remarquer que CH<sup>1</sup>  $X = \operatorname{Pic} X$ . Or d'après [27, lemme 5.1], on a une suite exacte :

$$0 \longrightarrow \operatorname{Pic} X \longrightarrow \operatorname{Pic}(X_{k_s})^{\Gamma}$$

où  $k_s$  est une clôture séparable de k et  $\Gamma$  le groupe de Galois absolu de k. Ainsi,  $\mathrm{CH}^1\,X$  est sans torsion.

D'après Karpenko ([21]), on a :

**Proposition 6.11** (Karpenko). — Si A est une algèbre d'Azumaya sur un corps k, dont l'indice coïncide avec son exposant, alors

$$CH^2(SB(A))_{tors} = 0.$$

**Proposition 6.12.** — Si A est une algèbre d'Azumaya de degré n, dont l'indice coïncide avec son exposant et  $1 = i_1 < \ldots < i_r \leqslant n$  alors  $\mathrm{CH}^2(\mathrm{SB}_{i_1,i_2,\ldots,i_r}(A))_{\mathrm{tors}} = 0$ .

Démonstration. — Sachant que pour  $i \leq 2$ ,  $CH^i(SB(A))_{tors} = 0$ , il suffit d'appliquer la remarque du début de section.

# 6.3. Exemple : variétés de drapeaux complets et torsion dans les $CH^i$ , $i \geqslant 2$

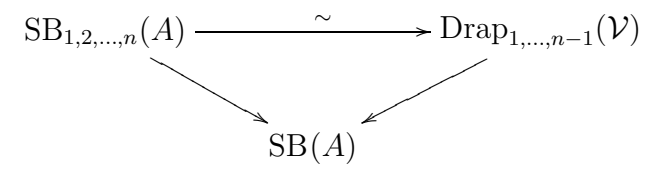
Commençons par énoncer un résultat de Karpenko:

**Proposition 6.13 (Karpenko)**. — Soit e un entier non divisible par un carré. Alors il existe une algèbre d'Azumaya A d'exposant e dont  $CH^2(SB(A))_{tors}$  est d'ordre e.

Démonstration. — Corollaire 5.2 du chapitre 1 de [22].

Remarque 6.14. — Dans cette proposition, on peut en fait choisir A d'indice (et donc de degré) aussi grand que l'on veut (proposition 5.1 du chapitre 1 de [22]). La construction d'une telle algèbre est faite dans l'exemple 4.12 du chapitre 1 de [22].

Examinons le cas des variétés de drapeaux complets. Soit A une algèbre d'Azumaya sur k de degré n. Notons  $X = \mathrm{SB}_{1,\ldots,n}(A)$  la variété de drapeaux complets. Alors, grâce au théorème 3.1, on dispose d'un fibré  $\mathcal V$  de rang n-1 sur  $\mathrm{SB}(A)$  tel que



et donc par la proposition 6.1, on a un isomorphisme :

$$\mathrm{CH}^k(X) \to \oplus_{i=0}^k (\mathrm{CH}^{k-i} \mathrm{SB}(A))^{n_i}$$

avec  $n_i = q(i, (1, n-1), \dots, (1, 2), (1, 1))$ . L'entier  $n_i$  compte le nombre de solutions de :

$$\begin{cases} \forall j \ x_j \leqslant j \\ x_1 + \ldots + x_{n-1} = i \end{cases}$$

donc pour tout  $i \in \{0, \dots, \frac{(n-1)n}{2}\}, n_i \geqslant 1$ . Ainsi :

Corollaire 6.15. — Soit e un entier non divisible par un carré. Pour tout entier  $k \ge 2$ , il existe une algèbre d'Azumaya A d'exposant e et une variété homogène X sous  $\operatorname{PGL}(A)$ , telles que  $\operatorname{CH}^k(X)$  contienne un sous-groupe cyclique d'ordre e.

 $D\acute{e}monstration$ . — Supposons que A soit une algèbre d'Azumaya d'exposant e telle que  $\mathrm{CH}^2(\mathrm{SB}(A))_{\mathrm{tors}}$  soit un groupe cyclique d'ordre e. Si on pose  $X = \mathrm{SB}_{1,2,\dots,n}(A)$  où n est le degré de A, alors d'après ce qui précède,  $\mathrm{CH}^k(X)$  contiendra nécessairement un sous-groupe cyclique d'ordre e dès qu'il existera un i satisfaisant :

$$\begin{cases} k - i = 2 \\ i \leqslant \frac{(n-1)n}{2} \end{cases}$$

Un tel i existe si et seulement si :

$$k \leqslant \frac{(n-1)n}{2} + 2.$$

Pour un k fixé, il suffit alors de prendre une algèbre d'Azumaya A d'exposant e donnée par la proposition précédente et de degré n assez grand.  $\square$ 

#### Références

- [1] I. Bernstein, I. Gel'fand et S. Gel'fand « Schubert cells and cohomology of the spaces G/P », Russian Math. Survey 28 (1973), no. 3, p. 1–26.
- [2] A. Blanchet « Function fields of generalized Brauer-Severi varieties », Comm. Algebra (1991), no. 19, p. 97–118.
- [3] A. Borel Linear algebraic groups, Graduate Texts in Mathematics, no. 126, Springer-Verlag, 1991.
- [4] N. BOURBAKI Groupes et algèbres de Lie. Chapitres IV, V et VI, Éléments de mathématiques, no. Fascicule XXXIV, Hermann, 1968.
- [5] B. Calmès, V. Petrov, N. Semenov et K. Zainoulline « Chow motives of twisted flag varieties », http://www.math.uiuc.edu/K-theory/0741/, 2005.
- [6] H. Cartan et S. Eilenberg *Homological algebra*, Princeton University Press, 1956.
- [7] N. A. CHÂTELET « Variation sur un thème de H. Poincaré », Annales scientifiques de l'Ecole Normale Supérieure 61 (1944), p. 249–300.
- [8] V. Chernousov, S. Gille et A. Merkurjev « Motivic decomposition of isotropic projective homogeneous varieties », *Duke Math. J.* **126** (2005), no. 1, p. 137–159.

- [9] L. Comtet Advanced combinatorics. the art of finite and infinite expansions. revised and enlarged edition., D. Reidel Publishing Company, 1974.
- [10] M. Demazure « Désingularisation des variétés de Schubert généralisées », Annales scientifiques de l'Ecole Normale Supérieure 4 7 (1974), p. 53–88
- [11] W. Fulton *Intersection theory*, Ergebnisse der Mathematik und ihrer Grenzgebiete, no. 2, Springer, 1994.
- [12] A. GROTHENDIECK « Sur quelques propriétés fondamentales en théorie des intersections », Séminaire Chevalley, Paris, 1958.
- [13] \_\_\_\_\_, « Le groupe de Brauer I », Dix exposés sur la cohomologie des schémas (A. S. in Pure Mathematics, éd.), 1968, p. 46–66.
- [14] \_\_\_\_\_, « Le groupe de Brauer II », Dix exposés sur la cohomologie des schémas (A. S. in Pure Mathematics, éd.), 1968, p. 67–87.
- [15] R. Hartshorne Algebraic geometry, Graduate Texts in Mathematics, no. 52, Springer, 1977.
- [16] J. Humphreys *Linear algebraic groups*, Graduate Texts in Mathematics, no. 21, Springer, 1975.
- [17] B. Kahn « Motivic cohomology of smooth geometrically cellular varieties », *Proc. in Symp. in Pure math.* (1999), no. 67, p. 149–174.
- [18] \_\_\_\_\_, « Formes quadratiques et cycles algébriques », Séminaire N. Bourbaki, no. 941, Novembre 2004.
- [19] N. KARPENKO « Torsion in CH<sup>2</sup> of Severi-Brauer varieties and indecomposibility of generic algebras », *Manuscripta Math.* (1995), no. 88, p. 109–117.
- [20] \_\_\_\_\_, « Grothendieck-Chow motives of Severi-Brauer varieties », St. Petersburg Math. J. 7 (1996), no. 4, p. 649–661.
- [21] \_\_\_\_\_, « On topological filtration for Severi-Brauer varieties », AMS Transl. Ser. 2 174 (1996), p. 45–48.
- [22] \_\_\_\_\_\_, « Cohomological invariants of homogeneous varieties (with applications to quadratic forms and central simple algebras », Habilitationsschrift, Fachbereich Mathematik der Westfälischen Wilhelms-Universität Münster, 1997.
- [23] M.-A. Knus, A. Merkurjev, M. Rost et J.-P. Tignol *The book of involutions*, Colloquium Publication, no. 44, American Mathematical Society, 1998.
- [24] J. Manin « Correspondences, motifs and monoidal transformations », *Math. USSR Sb.* **6** (1968), no. 4, p. 439–470.
- [25] A. MERKURJEV, I. Panin et A. Wadsworth « Index reduction formulas for twisted flag varieties I », K-theory 10 (1996), p. 517–596.
- [26] I. Panin « On the algebraic K-theory of twisted flag varieties », K-theory 8 (1994), p. 541–585.

- [27] E. Peyre « Galois cohomology in degree three and homogeneous varieties », K-theory 15 (1998), p. 99–145.
- [28] R. S. Pierce Associative algebras, Graduate Texts in Mathematics, no. 88, Springer, 1982.
- [29] D. Quillen « Higher algebraic K-theory I »,  $Higher\ K$ -theories, Lecture Notes in Mathematics, vol. 341, Springer-Verlag, 1973, p. 85–147.
- [30] R. Steinberg « On a theorem of Pittie », Topology 14 (1975), p. 173–177.
- [31] A. A. Suslin « Algebraic K-theory and the norm residue homomorphism »,  $Journal\ of\ Soviet\ mathematics\ 30\ (1985),\ p.\ 2556–2611.$
- [32] J. Tits « Classification of algebraic semisimple groups », Algebraic groups and discontinuous subgroups (A. Borel, G. D. Mostow, éd.), Proc. Symp. Pure Math., vol. 9, Amer. Math. Soc., 1966, p. 33–62.
- [33] \_\_\_\_\_\_, « Représentations linéaires irréductibles d'un groupe réductif sur un corps quelconque », J. Reine Angew. Math. 247 (1971), p. 196–220.

FRANCK DORAY, Mathematisch Instituut, Universiteit Leiden, Postbus 9512, 2300 RA Leiden • E-mail: doray@math.leidenuniv.nl